

átomo de hidrógeno (sem spin)

$$\left[-\frac{\hbar^2}{2m} \nabla^2 + V(r) \right] \Psi(r, \theta, \varphi) = E \Psi(r, \theta, \varphi)$$

$$H = -\frac{\hbar^2}{2m} \nabla_r^2 + \frac{L^2}{2m r^2} - \frac{e^2}{r} \Rightarrow \begin{cases} [H, L^2] = 0 \\ [H, L_z] = [L^2, L_z] = 0 \end{cases}$$

- Estados estacionários caracterizados por 3 nos quânticos (n, l, m)

$$\begin{cases} n = \boxed{1}, \dots \\ l = 0, 1, \dots \boxed{l} \\ m = 0, \pm 1, \dots \pm l \end{cases}$$

$$\Psi_{n,l,m}(r, \theta, \varphi) = R_{n,l}(r) Y_l^m(\theta, \varphi) = \frac{u_{nl}(r)}{r} P_l^m(\theta) \frac{e^{im\varphi}}{\sqrt{2\pi}}$$

$$\begin{cases} \langle E \rangle_{n,l,m} = -\frac{13,6}{n^2} \text{ eV} & R_y = \frac{c^2}{2a_0} = 13,6 \text{ eV} & a_0 = \frac{\hbar^2}{2me^2} = 0,529 \text{ \AA} \end{cases}$$

$$\begin{cases} \langle L^2 \rangle_{n,l,m} = l(l+1) \hbar^2 & \langle L_z \rangle_{n,l,m} = m \hbar \end{cases}$$

- Normalização: $\iiint_0^{2\pi} |\Psi(r, \theta, \varphi)|^2 r^2 dr \sin\theta d\theta d\varphi = \int_0^{\infty} |R_{n,l}(r)|^2 r^2 dr \int_0^{\pi} |P_l^m(\cos\theta)|^2 d(\cos\theta) \int_0^{2\pi} \frac{d\varphi}{2\pi}$

$$\int_0^{\infty} |R_{n,l}(r)|^2 r^2 dr = \int_0^{\infty} |u_{nl}(r)|^2 dr = 1 \Rightarrow \boxed{|u_{nl}(r)|^2 = p(n)} \rightarrow \text{densidade de probabilidade de presença radial.}$$

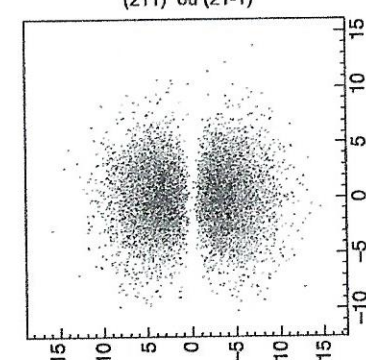
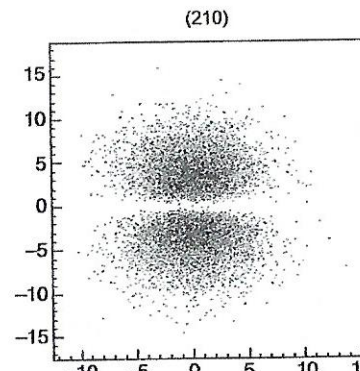
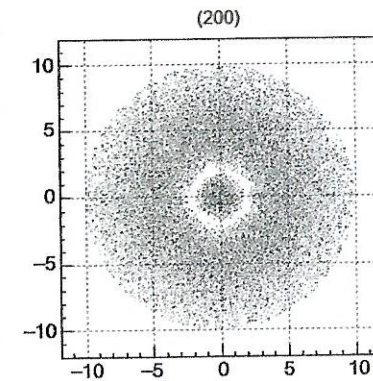
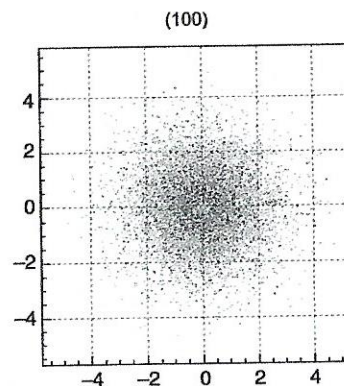
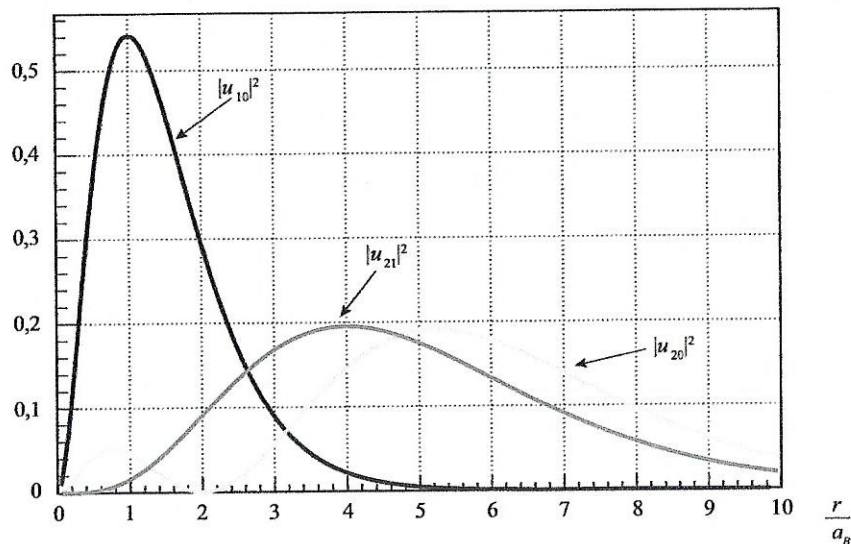
$$\boxed{u_{nl}(r) = n R_{n,l}(r)}$$

Os primeiros estados estacionários

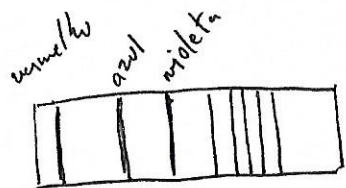
notação espectroscópica	$(n \ell m)$	$\psi_{n\ell m}(\theta, \phi) = R_{nl}(r) P_l^m(\theta) e^{im\phi}$	$ U_{nl}(r) ^2 P_l^m(\theta) ^2$	$E_n = -\frac{13,6}{n^2}$ (eV)
1s	100	e^{-r/a_B}	$r^2 e^{-2r/a_B}$	-13,6
2s	200	$(1 - \frac{r}{2a_B}) e^{-r/2a_B}$	$r^2 (1 - \frac{r}{2a_B})^2 e^{-r/2a_B}$	
2p	210	$\pi e^{-r/2a_B} \cos \theta$	$r^4 e^{-r/2a_B} \cos^2 \theta$	-3,4
	21±1	$\pi e^{-r/2a_B} \sin \theta e^{\pm i\phi}$	$r^4 e^{-r/2a_B} \sin^2 \theta$	

diagramas polares das distrib. de probabilidade

distribuições da probab. de presença radial



Espectro do hidrogênio



$$\lambda = 3645,6 \frac{n^2}{n-4} (\text{\AA}) \rightarrow \text{Balmer (1885)}$$

$$\frac{1}{\lambda} = R_H \left(\frac{1}{2^2} - \frac{1}{n^2} \right) \rightarrow \text{Rydberg (1888)}$$

$R_H \sim 10^5 \text{ cm}^{-1}$
cts de Rydberg

$$c = \lambda v \Rightarrow v_{nm} = (c R_H) \left| \frac{1}{m^2} - \frac{1}{n^2} \right|$$

- q.q. linha (freq.) é dada pela
diferença entre 2 termos espectrais
(Ritz)

$$\text{Bohr (1913)} \rightarrow E_n = -\frac{e^2}{2a_B} \frac{1}{n^2} \quad (\text{espectro de energia do hidrogênio})$$



$$v_{nm} = \frac{|E_n - E_m|}{h} = \underbrace{\frac{e^2}{2a_B h}}_{c R_H} \left| \frac{1}{n^2} - \frac{1}{m^2} \right|$$

freqüências emitidas ou absorvidas

$$\Rightarrow R_H = \frac{e^2}{4\pi a_B c \hbar} = \frac{(4,8)^2 \times 10^{-20}}{4\pi \times 0,5 \times 10^{-8} \times 3 \times 10^10 \times 10^{-27}} \sim 10^5 \text{ cm}^{-1}$$

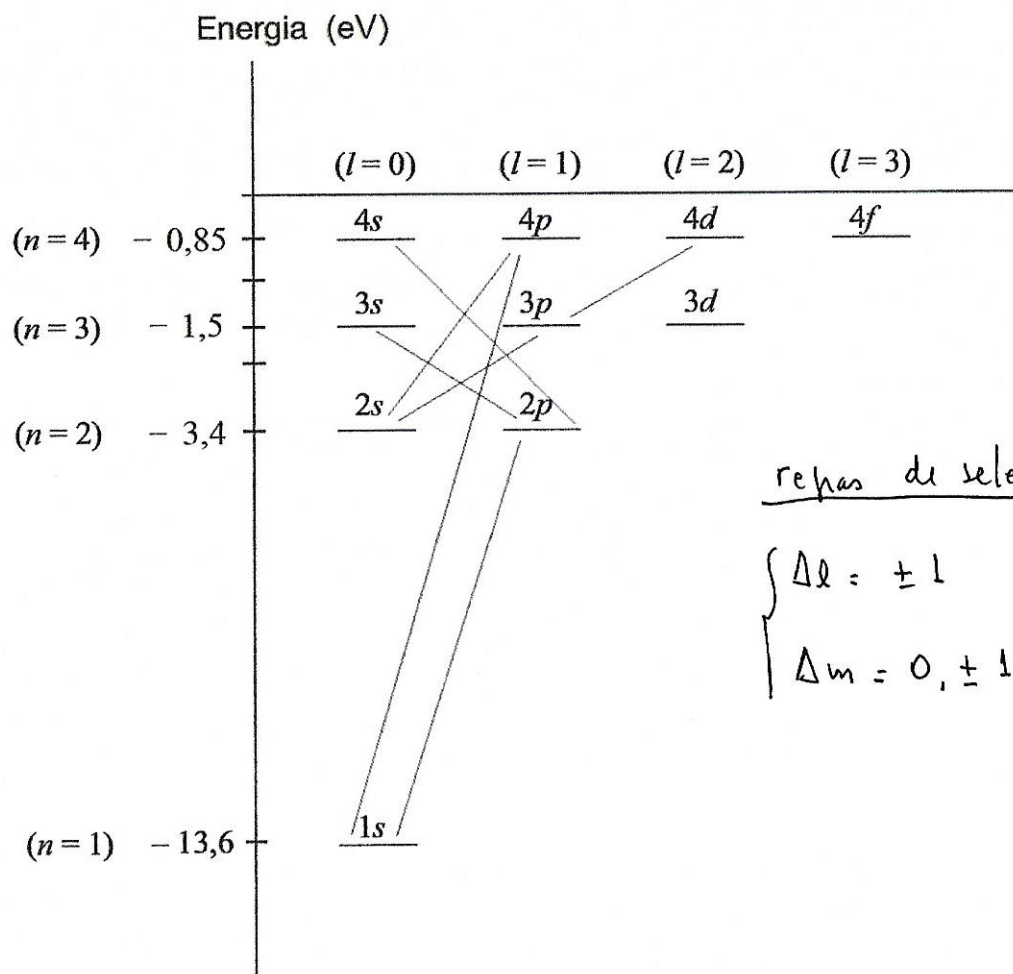
Transições e regras de seleção

$$\nu_{\text{ns}} \sim \left(\frac{1}{n^2} - \frac{1}{m^2} \right) \rightarrow \text{correspondem a transições entre os níveis de energia}$$

freqüências emitidas ou absorvidas

$$\left\{ \begin{array}{l} 4p \rightarrow 2s \quad 4s \rightarrow 2p \\ 4p \rightarrow 1s \quad 4f \rightarrow 3p \\ 3p \rightarrow 2s \end{array} \right. \quad (\text{permitidas})$$

$$\left\{ \begin{array}{l} 4d \rightarrow 2s \quad 4s \rightarrow 2s \\ 3d \rightarrow 1s \quad 3s \rightarrow 1s \\ 4p \rightarrow 3p \end{array} \right. \quad (\text{proibidas})$$

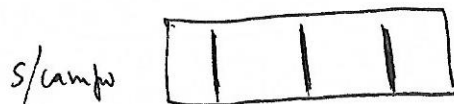


regras de seleção

$$\left\{ \begin{array}{l} \Delta l = \pm 1 \quad (\text{transições}) \\ \Delta m = 0, \pm 1 \quad (\text{permitidas}) \end{array} \right.$$

(2)

Efeito Zeeman - desdobramento das linhas espectrais em um campo magnético



$\left\{ \begin{array}{l} \text{normal} \rightarrow 2 \text{ ou } 3 \text{ linhas (momentum angular orbital)} \\ \text{anômalo} \rightarrow 3 \text{ linhas (orbital + ?)} \end{array} \right.$

interação momento dipolar c/ campo magnético

$$V = -\vec{\mu}_e \cdot \vec{B}$$

$$= \gamma_e \vec{L} \cdot \vec{B}$$

$$[\mu_e] = J/T \text{ (joule/tesla)}$$

(energia potencial da interação)

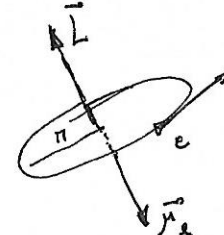
(quântico)

$$\vec{B} = B_z \hat{h} \Rightarrow \left\{ \begin{array}{l} \mu_z = \gamma_e L_z \\ L_z = m_e \hbar \end{array} \right. \implies \mu_z = m_e (\hbar \gamma_e)$$

$$L_z = m_e \hbar \text{ (autoválida)} \quad \underbrace{\mu_B}_{\mu_B \text{ (magnetão de Bohr)}}$$

$$\mu_B = \frac{e \hbar}{2m} \sim 10^{-23} J/T$$

momento dipolar orbital ($\vec{\mu}_e$)



$$\left\{ \begin{array}{l} L = m_e v n \\ \mu_e = i A \end{array} \right.$$

$$i = \frac{e}{T} = \frac{e}{2\pi} \omega = \frac{e v}{2\pi n} \implies i A = \frac{e v n}{2}$$

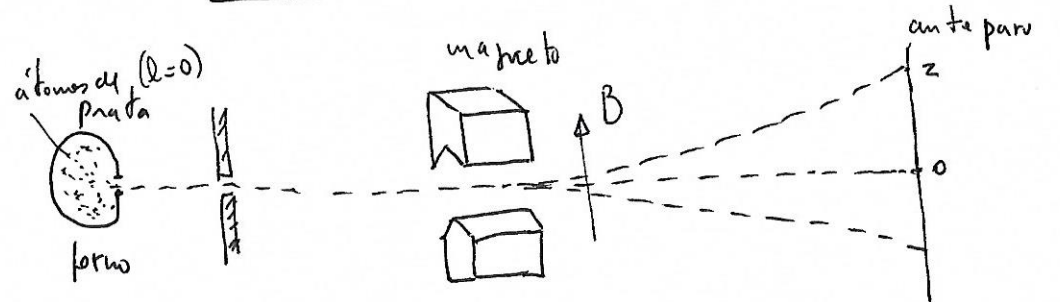
$$\vec{\mu}_e = - \left(\frac{e}{2m} \right) \vec{L}$$

$$\gamma \sim 10^{11} T^{-1} s^{-1}$$

razão giro magnética

(3)

Experimento de Stern-Gerlach (1921)



$$V = -\mu_z B$$

$$F_z = -\frac{\partial V}{\partial z} = \mu_z \frac{\partial B}{\partial z}$$

resultados
esperados

q.q. valor de z (continuo) - clássico

$(2l+1)$ trajes ($\mu_z = m_e \mu_B$) - quantitativo

resultados do
experimento

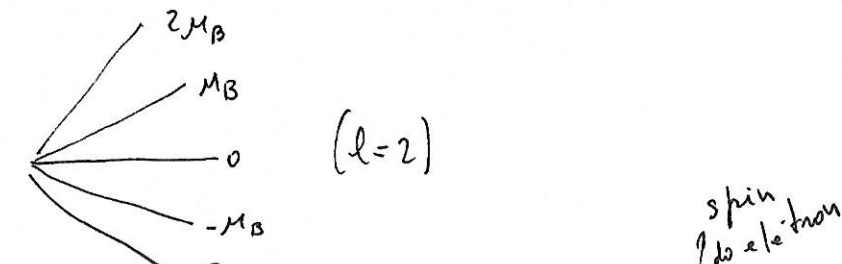
$$\left\{ \begin{array}{l} 2 \text{ trajes} \\ \mu_z < \mu_B \\ -\mu_B \end{array} \right.$$

$$p/l = 0 \Rightarrow 1 \text{ trajeto} \quad (\text{esperado})$$

Spin (1925) - Uhlenbeck - Goudsmit

$$\left\{ \begin{array}{l} \mu_z = \gamma L_z = \gamma m_e \hbar = m_e \mu_B \\ M_B \quad 0 \quad (l=1) \\ -M_B \end{array} \right.$$

$$\left\{ \begin{array}{l} \mu_{sz} = 2\gamma S_z = 2\gamma m_s \hbar = 2m_s \mu_B \\ M_B \quad -M_B \quad s=\frac{1}{2} \quad m_{sz} = \frac{1}{2} \quad -\frac{1}{2} \end{array} \right.$$



$$\Rightarrow \bar{\mu}_s = -2\gamma \bar{S} = -\left(\frac{e}{m}\right) \vec{S}$$

spin do elétron

Propriedades algébricas do momento angular

momentum angular orbital

$$\left\{ \begin{array}{l} L^2 |l, m_l\rangle = l(l+1) \hbar^2 |l, m_l\rangle \quad l = 0, 1, 2, \dots \\ |l, m_l\rangle \rightarrow \text{auto estados de } L^2 \text{ e } L_z \\ L_z |l, m_l\rangle = m_l \hbar |l, m_l\rangle \quad m_l = 0, \pm 1, \pm 2, \dots, \pm l \quad (2l+1) \end{array} \right.$$

$[L_x, L_y] = i \hbar L_z$ (cíclica)

momentum angular intrínseco do elétron (spin)

$$\left\{ \begin{array}{l} S^2 |s, m_s\rangle = s(s+1) \hbar^2 |s, m_s\rangle = \frac{3}{4} \hbar^2 |s, m_s\rangle \quad s = \frac{1}{2} \\ |s, m_s\rangle \rightarrow \text{auto estado de } S^2 \text{ e } S_z \\ S_z |s, m_s\rangle = m_s \hbar |s, m_s\rangle \quad \begin{cases} \frac{1}{2} |s, \frac{1}{2}\rangle \\ -\frac{1}{2} |s, -\frac{1}{2}\rangle \end{cases} \quad m_s = \frac{1}{2}, -\frac{1}{2} \end{array} \right.$$

$[S_x, S_y] = i \hbar S_z$ (cíclica)

notações usadas p/ auto estados do spin

$$\left\{ \begin{array}{l} |\frac{1}{2}, \frac{1}{2}\rangle = |+\rangle = |up\rangle = |\uparrow\rangle = |+\frac{1}{2}\rangle = \chi_+ \\ |\frac{1}{2}, -\frac{1}{2}\rangle = |-\rangle = |down\rangle = |\downarrow\rangle = |-\frac{1}{2}\rangle = \chi_- \end{array} \right. \quad \left\{ \begin{array}{l} S^2 |\pm\rangle = \frac{3}{4} \hbar^2 |\pm\rangle \\ S_z |\pm\rangle = \pm \frac{\hbar}{2} |\pm\rangle \end{array} \right.$$

Matrizes de Pauli (1927)

$$S_x = \frac{\hbar}{2} \begin{pmatrix} 0 & 1 \\ 1 & 0 \end{pmatrix} \quad S_y = \frac{\hbar}{2} \begin{pmatrix} 0 & -i \\ i & 0 \end{pmatrix} \quad S_z = \frac{\hbar}{2} \begin{pmatrix} 1 & 0 \\ 0 & -1 \end{pmatrix}$$

σ_x σ_y σ_z

$$[\sigma_x, \sigma_y] = 2i\sigma_z$$

$$\tilde{\sigma} = \sigma_x \hat{i} + \sigma_y \hat{j} + \sigma_z \hat{k}$$

- determinar os autovalores de σ_x , σ_y e σ_z e σ^2
- determinar os autovetores de σ_x , σ_y , σ_z e σ^2